

This map was compiled from data acquired in the Stewart River Area, Yukon during the second phase of an airborne geophysical survey (gamma ray spectrometry, magnetometer) carried out by Fugro under contract to the Geological Survey of Canada. Funding for the survey was provided by Natural Resources Canada's Targeted Geoscience Initiative. The Phase 2 survey was completed between July 18, 2001 and September 26, 2001, using an Aerospatiale AS350B2 helicopter (registration C-GZTA).

Flight paths were recovered using a post-flight differential Global Positioning System. A vertically mounted camera was used for verification of the flight path. The average traverse line spacing was 500 m with control lines flown at 15 km intervals. Helicopter flight height was maintained at an average ground clearance of 119 m.

The gamma ray spectrometry data were recorded at a 1.0 second sample rate into 256 channel main and radon spectra using an Egamtron GR200 spectrometry system. The volume of NaI in the two detectors comprising the system were: main detector, 31.4; radon detector, 8.4. Counts from the main detector were recorded in five windows corresponding to Thorium (214D - 2610 keV), Uranium (238U - 1840 keV), potassium (40K - 1460 keV), total radiocesium (137Cs - 2815 keV) and cosmic radiation (3000 to >4000 keV). Counts from the radon detector were recorded in the radon window (1640 - 1840 keV). The radon detection system was calibrated following methods outlined in AGSO 1995/03. After removal of the background, the data were corrected for spectral interferences, changes in temperature, pressure and departure from the 119 m planned survey elevation. The data were then converted to standard concentration units and ratios and then interpolated to a 125 m square grid. The terrain image grid was created from the three concentration grids.

The aeromagnetic data were recorded at a 0.1 second sample rate using a 0.01 nT sensitivity split-beam cesium vapour magnetometer suspended 23 m below the helicopter. The control line and traverse line magnetic data were corrected for variations in the magnetic field using the ground station magnetometer data. After editing the survey data, the intersections of traverse and control lines were established and the differences in the magnetic values were computed and used to obtain the leveling network. Global Positioning System data were used to compute the International Geomagnetic Reference Field data circa 2001, which was subtracted from the total magnetic field data to produce the residual magnetic field. The resulting residual magnetic field values were interpolated to a 125 m square grid. The first vertical derivative of the magnetic field was computed from the grid of the residual magnetic field.

All gridded data are presented as colour interval maps combined with digital topographic files provided by Geomatics Canada.

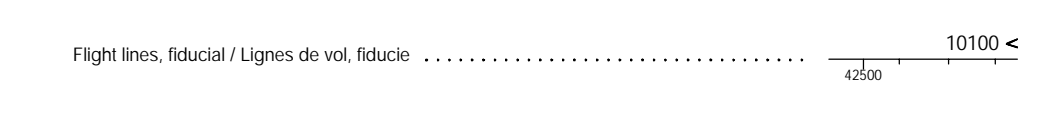
Cette carte a été compilée des données obtenues dans le région de Stewart River, Yukon, pendant la deuxième phase d'un levé géophysique aéroporté (spectrométrie des rayons gamma et aéromagnétique) effectué par Fugro sous un contrat à la Commission géologique du Canada. Le subvention pour ce levé a été fournie par l'Initiative géoscientifique ciblée (IGCI) de Ressources Naturelles Canada. La deuxième phase opérationnelle a été effectuée du 18 juillet au 26 septembre, 2001, en utilisant un hélicoptère Aerospatiale AS350B2 (immatriculé C-GZTA).

Le recouvrement des lignes de vol a été fait à l'aide de mesures de système de positionnement global corrigées en temps différentiel après vol. Une caméra vidéo montée verticalement a été utilisée pour la vérification du plan de vol. L'écartement moyen des lignes de vol était de 500 m, recoupées par des lignes de contrôle espacées de 15 km les unes des autres. L'hélicoptère a maintenu une altitude moyenne de 119 m au-dessus du sol.

Les données spectrométriques des rayons gamma ont été enregistrées selon un taux d'échantillonnage de 1,0 seconde dans les spectres d'un détecteur principal à 31,4 canaux et d'un détecteur de radon en utilisant un spectromètre Egamtron GR200. Les volumes de NaI dans les deux détecteurs composant le système étaient les suivants: 31,4 pour le détecteur principal et 8,4 pour le détecteur de radon. Les comptages du détecteur principal ont été enregistrés dans cinq fenêtres correspondant au Thorium (214D - 2610 keV), à l'uranium (238U - 1840 keV), au potassium (40K - 1460 keV), à la radioactivité totale (4000 - 2815 keV) et au rayonnement cosmique (3000 - >4000 keV). Le comptage de détecteur du radon a été enregistré dans la fenêtre du radon (1640 - 1840 keV). Le système de détection du radon a été étalonné selon les méthodes décrites dans le AGSO 1995/03. Après élimination du fond, les données ont été corrigées pour tenir compte des interférences spectrales, des changements de température, de la pression et des écarts par rapport à l'altitude prévue du levé (119 m). Les données ont été converties en unités de concentration habituelles et leurs rapports, puis interpolées sur un grille aux mailles de 125 m. La carte terrain a été calculée des grilles des données radiométriques.

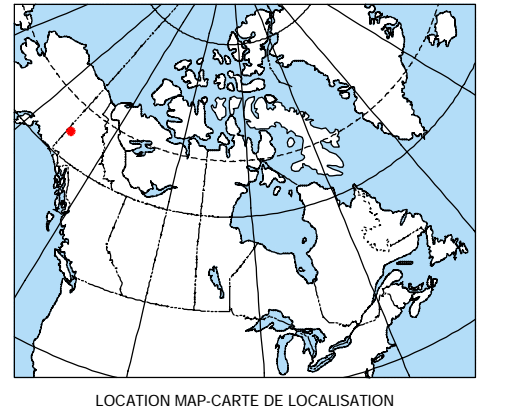
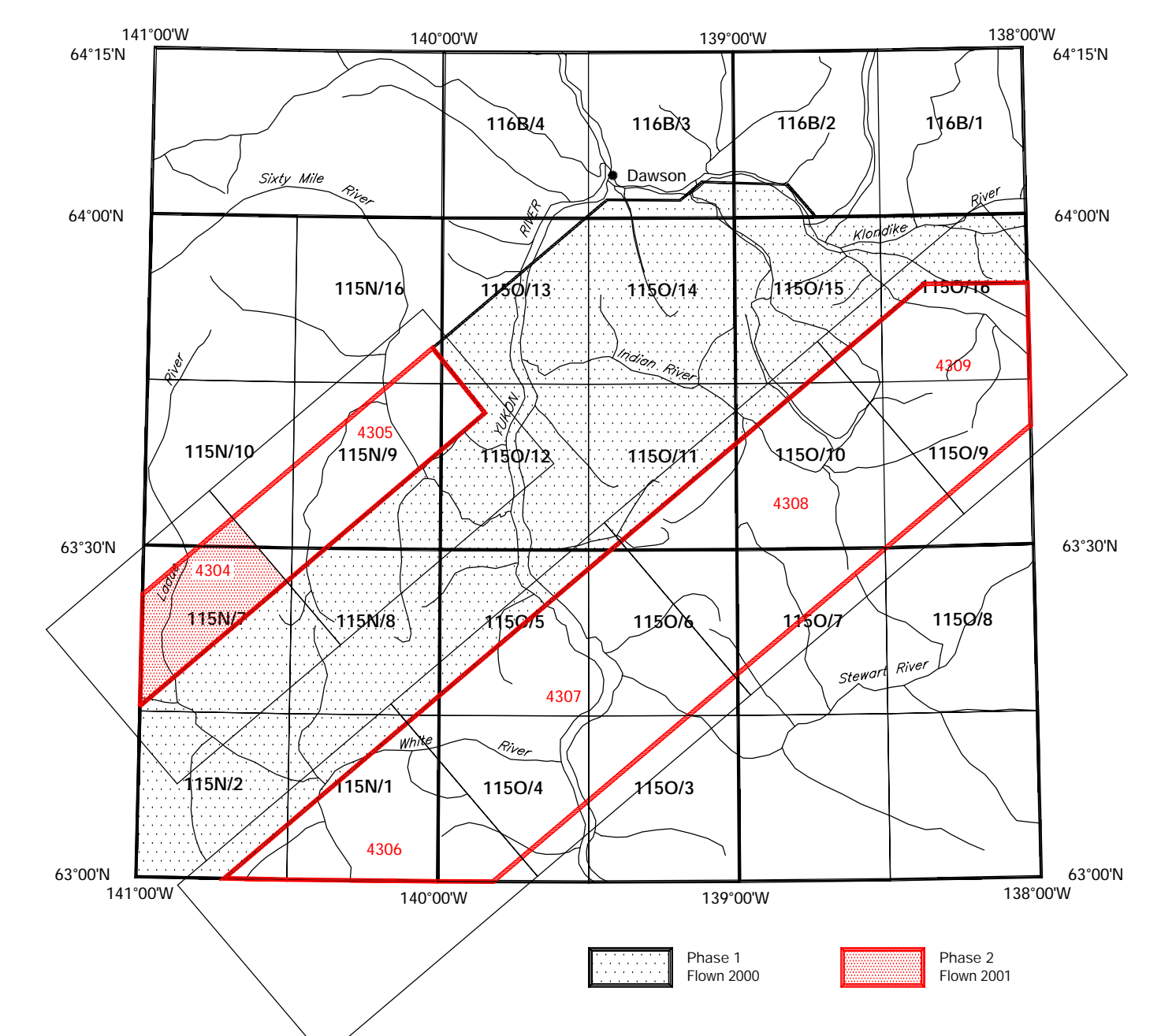
Les données aéromagnétiques ont été enregistrées à une fréquence de 0,1 seconde en utilisant un magnétomètre à vapeur de césium d'une sensibilité de 0,01 nT suspendu à 23 m sous l'hélicoptère. Les données magnétiques des lignes de contrôle et des traversées ont été corrigées pour les variations du champ géomagnétique en utilisant les données du magnétomètre au sol. Une fois les données du levé ont été vérifiées, les coordonnées des intersections des lignes de vol et des lignes de contrôle ont été établies et leurs différences des valeurs magnétiques ont été analysées par ordinateur pour obtenir le nivellement. Les données de système de positionnement global ont été utilisées pour obtenir le champ géomagnétique international de référence calculé vers 2001, qui a été soustrait du champ total pour obtenir le champ magnétique résiduel. Ainsi, les données du champ magnétique résiduel ont été interpolées à une grille aux mailles carrées de 125 m de côté. Finalement, la grille de la première dérivée verticale du champ magnétique a été calculée à partir du champ magnétique résiduel.

Tous les données présentés comme des cartes d'intervalles en couleurs combinées avec les fichiers de topographie numériques fournis par Géomatique Canada.



Recommended citation:
Stewart, S.B., Chivers, M., Furt, K.L., Holmes, P.B., Gledhill, S., Abbott, G., 2002.
Geophysical Survey of Canada File 115N/7.
Exploration and Geological Services Division, Yukon, Indian and Northern Affairs Canada Open File 2002-10.
Magnetic First Vertical Derivative Map.
Stewart River Area - 115N/7.
Scale 1:50 000.

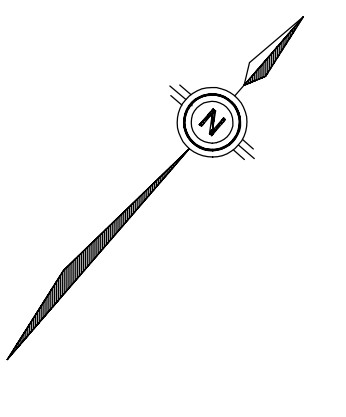
Notice bibliographique conseillée:
Stewart, S.B., Chivers, M., Furt, K.L., Holmes, P.B., Gledhill, S., Abbott, G., 2002.
Carte géophysique du Canada Dossier Public 115N/7.
Aériennes Indiennes et du Nord, Services de l'Exploration et des Services Géologiques Div. 2002-10.
Carte de la dérivée première verticale du champ magnétique.
Stewart River Area - 115N/7.
Échelle 1:50 000.



MAGNETIC FIRST VERTICAL DERIVATIVE MAP
CARTE DE LA DÉRIVÉE PREMIÈRE VERTICALE DU CHAMP MAGNÉTIQUE

STEWART RIVER AREA
YUKON TERRITORY / TERRITOIRE DU YUKON

Scale 1:50 000 - Echelle 1/50 000
Kilometers 1 2 3 4 Kilomètres



OPEN FILE
DOSSIER PUBLIC
4304
2002
10 of/ de 10

OPEN FILE
DOSSIER PUBLIC
2002-10
2002

MAGNETIC FIRST VERTICAL DERIVATIVE MAP
CARTE DE LA DÉRIVÉE PREMIÈRE VERTICALE DU CHAMP MAGNÉTIQUE

STEWART RIVER AREA
YUKON TERRITORY / TERRITOIRE DU YUKON
115 N/7

PUBLISHED 2002 / PUBLIÉE 2002